國立臺北科技大學
資訊工程系碩士班

碩士學位論文

漸進式委員會佔領攻擊與激勵相容防禦：區塊鏈聯邦學習的安全性研究

Progressive Committee Capture Attack and Incentive-Compatible Defense: Security Analysis for Blockchain-based Federated Learning

研究生：陸紀霖

指導教授：張世豪博士

中華民國一百一十五年一月

國立臺北科技大學

資訊工程系碩士班

碩士學位論文

漸進式委員會佔領攻擊與激勵相容防禦：區塊鏈聯邦學習的安全性研究

Progressive Committee Capture Attack and Incentive-Compatible Defense: Security Analysis for Blockchain-based Federated Learning

研究生：陸紀霖

指導教授：張世豪博士

中華民國一百一十五年一月

「學位論文口試委員會審定書」掃描檔

審定書填寫方式以系所規定為準，但檢附在電子論文內的掃描檔須具備以下條件：

1. 含指導教授、口試委員及系所主管的完整簽名。
2. 口試委員人數正確，碩士口試委員至少 3 人、博士口試委員至少 5 人。
3. 若此頁有論文題目，題目應和書背、封面、書名頁、摘要頁的題目相符。
4. 此頁有無浮水印皆可。

審定書不用頁碼

摘要

關鍵詞：區塊鏈、聯邦式學習、委員會佔領、驗證者共謀

基於區塊鏈的聯邦式學習 (BCFL) 透過去中心化共識機制解決了信任與隱私問題。現有的 BCFL 系統依賴基於委員會的驗證機制，並假設委員會成員是誠實的或擁有誠實多數。此假設容易受到驗證者共謀的威脅，攻擊者可透過累積權益 (Stake) 來主導委員會。我們識別出一種新型威脅——漸進式委員會佔領 (PCC)，理性攻擊者利用激勵機制逐步累積權益，並佔領足夠的委員會席次以發動協同攻擊。一旦攻擊者取得委員會多數席次，現有的委員會架構便無法偵測或防範此類攻擊。為防禦 PCC，我們提出一種結合 ** 即時執行 ** 與 ** 異步審計 ** 的委員會架構，將安全性與委員會組成解耦：由小型委員會負責例行驗證並立即執行模型更新以提供最佳活性 (Liveness)，而由全域共識支持的 ** 異步審計機制 ** 提供安全性保證。任何惡意聚合行為都將在事後被審計發現，觸發密碼學驗證、罰沒懲罰，並立即移除惡意驗證者——無論其在委員會中的席次多寡。此機制將安全門檻從委員會多數轉移至全網共識，從而瓦解委員會佔領攻擊。實驗結果顯示，當攻擊發生時，本機制能完全清除惡意委員會成員，而現有最先進的方法則允許攻擊者取得委員會完全控制權並執行不受制衡的攻擊。我們的解耦設計亦允許更小的委員會規模，在不犧牲安全性的前提下提升計算效率。

ABSTRACT

Keyword: Blockchain, Federated Learning, Committee Capture, Verifier Collusion

Blockchain-based Federated Learning (BCFL) addresses trust and privacy concerns through decentralized consensus. Current BCFL systems rely on committee-based validation assuming honest or honest-majority committees. This assumption is vulnerable to verifier collusion, where attackers accumulate stake to dominate committees. We identify Progressive Committee Capture (PCC), a novel threat where rational attackers exploit incentive mechanisms to gradually accumulate stake and capture sufficient committee seats for coordinated attacks. Existing committee-based architectures cannot detect or prevent such attacks once attackers achieve committee majority. To defend against PCC, we propose an Audit-Augmented Committee Architecture that combines Immediate Execution with Asynchronous Audit. This design decouples security from committee composition: a small committee provides liveness through routine validation and immediate model execution, while an asynchronous audit mechanism backed by global consensus provides security guarantees. Any malicious aggregation will be detected post-hoc, triggering cryptographic verification, slashing penalties, and immediate removal of malicious validators—regardless of their committee representation. This shifts the security threshold from committee majority to global network consensus, neutralizing committee capture attacks. Experimental results demonstrate complete elimination of malicious committee members upon attack attempts, while state-of-the-art approaches allow attackers to achieve full committee control and execute unchecked attacks. Our decoupled design also enables smaller committee sizes, improving computational efficiency without compromising security.

誌謝

所有對於研究提供協助之人或機構，作者都可在誌謝中表達感謝之意。

目錄

圖目錄

表目錄

第一章　緒論 (Introduction)

隨著人工智慧與分散式運算技術的進步，區塊鏈賦能的聯邦學習 (Blockchain-based Federated Learning, BCFL) 已成為解決多方互不信任情境下協作機器學習的核心技術路徑。在諸如低軌衛星網路 (LEO) [1, 2, 3]、車聯網 (V2X) [4, 5, 6] 以及工業物聯網 (IIoT) [7, 8, 9] 等實際應用場景中，BCFL 展現了其不可替代的重要性。特別是以 LEO 衛星星座為代表的太空 AI 應用場景，星地通訊窗口通常僅約 5 分鐘，且下行頻寬受限於 8Mbps 左右 [2]，使得依賴地面站聚合的傳統模型訓練方案難以實施。BCFL 通過在異質衛星營運商間建立去中心化信任層，成功將收斂時間減少達 30 小時 [3]。同樣地，在工業 4.0 的背景下，BCFL 允許協作工廠在不洩露商業機密的前提下進行預測性維護，實驗資料顯示其通訊開銷可較集中式架構減少約 41% [7]。這些場景共同呈現出「無可信中心」、「資源受限」與「資料高度異質」的特徵，促使 BCFL 成為通用去中心化學習架構的首選方案。

然而，BCFL 在邁向大規模部署時面臨著嚴峻的效率瓶頸，這在業界被稱為「可擴展性兩難」。目前絕大多數 BCFL 系統採用 PBFT (Practical Byzantine Fault Tolerance) 或其變體作為共識機制，其 $O(n^2)$ 的訊息複雜度在節點數增加時會導致效能急劇下降。根據 FLCoin [10] 的實證研究，當參與節點數達到 100 個時，單輪共識產生的訊息量將超過 20,000 條，導致共識延遲攀升至 25 秒以上，此延遲水平已達到模型訓練時間的量級。在極端的車載網路 (VANET) 實測中，100 輛車進行 BCFL 協作會產生 360.57 MB 的巨大資料量，單輪訓練的總通訊開銷高達 19.51 秒 [11]。此外，區塊鏈節點對儲存的高需求 (如比特幣需 200GB，乙太坊超過 465GB) 與邊緣設備 KB 至 MB 級的有限記憶體形成強烈衝突 [12]。這種效能與資源的雙重束縛，使得全節點驗證的傳統架構在實際工業部署中顯得難以維繫。

為了解決上述可擴展性挑戰，學界近年來轉向研究「委員會機制 (Committee Mechanism)」，其核心思想是將驗證責任從全體節點縮減至一組小型驗證者委員會。目前主流的選拔機制包含基於雜湊環的隨機抽樣 [13]、基於幣齡或權益的權重選舉 [14, 10] 以及基於預言機 (VRF) 的 Sortition 機制 [15, 16]。委員會機制的引入立竿見影地改善了系統效能：FLCoin [10] 通過滑動窗口選舉將通訊開銷降低了 90%，並實現了 5.7 倍的訓練加速；BFLC [14] 則利用委員會驗證成功將共識延遲穩定在 3 秒以內。這些最佳化雖成功將通訊複雜度降至與委員會規模 C 相關的 $O(C^2)$ 或 $O(C)$。然而，這種為了效率而進行的「算力與權力集中」也同時引入了新的、尚未被充分探討的安全攻擊面。

最令學界擔憂的危機在於現有委員會防禦機制對「誠實多數假設 (Honest Majority Assumption)」的過度依賴。根據 2024 年針對拜占庭強健聯邦學習的全面調查 [17, 18]，目前超過 93.3% 的 BCFL 研究雖部署了 Krum、Trimmed Mean 或 Median 等防禦演算法，但皆隱含地假設執行這些演算法的實體 (即委員會成員) 是絕對誠實的。現有的威脅模型大多只考慮惡意客戶端上傳毒化梯度，卻忽略了「理性驗證者 (Rational Verifiers)」的危害。最新研究指出，理性對手可以先透過合法行為積累聲譽，一旦在委員中取得超過 33% (針對 BFT 系統) 或 50% (針對一般投票系統) 的主導權，即可輕易繞過所有強健

聚合演算法，甚至偽造聚合結果而不受懲罰。BlockDFL [13] 與 FedBlock [19] 等前沿工作亦坦言，現有機制無法抵禦具備長期策略的委員會共謀攻擊。

上述現象揭示了一個關鍵的「研究缺口 (Research Gap)」：現有 BCFL 缺乏應對「漸進式委員會佔領 (Progressive Committee Capture, PCC)」的自癒機制。在 PCCA 攻擊中，對手並非採取暴力破壞，而是實施「策略性餓死 (Strategic Starvation)」——即在掌控委員會後，優先打包與自身利益相關的更新，並拒絕為誠實參與者提供驗證服務，從而操縱獎勵分配與權益動態。由於缺乏事後的「可追溯審計」與「有效威懾」，一旦誠實多數假設在某一輪次被攻破，系統權力將產生雪崩式的中心化。現有的基於同態加密或權益證明的方案雖然能保護隱私，卻無法在委員會本身已不再可信的情況下，保證模型更新的正確性與資源分配的公平性。如何解耦安全性與共識節點集體信用，成為實現真正去中心化 AI 平台的最後一哩路。

針對這一挑戰，本文提出了一種「挑戰者增強委員會架構 (Challenge-Augmented Committee Architecture, CACA)」，旨在為 BCFL 引入一種全新的安全性保險機制。本研究提出的核心思想是「即時執行、異步審計、罰沒威懾」，這與傳統的「先驗證、後提交」模式有本質區別。我們的主要創新點在於將系統的「活性 (Liveness)」與「安全性 (Security)」進行解耦：即使在委員會不完全可信、甚至被捕獲的情況下，系統仍能通過去中心化的挑戰者網路來檢舉委員會的錯誤決策。具體貢獻概括如下：(1) 我們首次定義並模擬量化了漸進式委員會佔領攻擊對 BCFL 長期激勵相容性的破壞力；(2) 我們提出了一套基於博弈論設計的「內部罰沒 (Internal Slashing)」協議，確保審計成本低於作惡罰金，從而使得誠實行為成為理性節點的納什均衡；(3) 實驗結果顯示，在 30% 惡意共謀的極端環境下，本框架仍能維持 91.8% 的模型準確率，且在 500 節點規模下提供了相較於 BlockDFL 顯著的效率與回原能力。

本論文的組織結構編排如下：第一章為緒論，闡明研究動機、目標與貢獻。第二章介紹聯邦學習、區塊鏈底層架構及拜占庭容錯技術等背景知識。第三章對現有的去中心化聯邦學習文獻進行分類與批判性評述。第四章定義本研究的系統模型與 PCC 攻擊者的行為特徵。第五章詳細描述 CACA 的具體設計流程、智能合約實現及安全協議。第六章呈現模擬實驗的參數設定與效能對比結果，驗證所提架構的有效性。第七章對全論文進行總結，並探討本研究在大型語言模型 (LLM) 與 Web3 領域的未來延伸方向。

第二章　相關技術背景

本章節旨在建立理解本研究所需之技術基礎，涵蓋聯邦學習、拜占庭容錯機制、區塊鏈架構以及現代共識系統中的經濟安全設計。本章內容採說明性敘述，為後續章節之問題分析與系統設計提供理論框架。

2.1　聯邦學習與拜占庭容錯 (Federated Learning and Byzantine Resilience)

聯邦學習（Federated Learning, FL）是由 McMahan 等人於 2017 年正式提出之分散式機器學習框架 [20]。其核心目標在於多個參與方（Clients）協同訓練模型，而無需將原始資料集中於中央伺服器，從而保護資料隱私。

2.1.1　聯邦學習數學定義

在標準聯邦學習架構中，目標是最小化全域損失函數 $F(w)$：

$$\min_{w} F(w) = \sum_{k=1}^{K} \frac{n_k}{n} F_k(w) \tag{2.1}$$

其中 K 為參與客戶端總數，n_k 為第 k 個客戶端之本地樣本數，$F_k(w)$ 為其本地損失函數。經典的 *FederatedAveraging* (FedAvg) 演算法透過週期性地收集客戶端模型更新 w_{t+1}^k，並在伺服器端進行加權聚合：

$$w_{t+1} \leftarrow \sum_{k=1}^{K} \frac{n_k}{n} w_{t+1}^k \tag{2.2}$$

此方法雖然顯著降低了通訊開銷，但其安全性建立在中央聚合器完全誠實且客戶端皆非惡意的假設之上。

2.1.2　拜占庭故障與強健聚合

在開放或非受信任環境中，部分參與者可能發生拜占庭故障（Byzantine fault），即發送任意、甚至是蓄意偽造的梯度向量。Blanchard 等人證明了線性聚合規則（如算術平均）無法抵禦即便只有一個拜占庭節點的攻擊 [21]。為了應對此威脅，研究界提出了多種拜占庭容錯（Byzantine-robust）聚合機制，例如：

- **Krum/Multi-Krum**：透過運算各向量間的歐幾里得距離，選擇與周圍節點距離最近的向量，以排除偏離較大的惡意更新。

- **座標式裁剪均值 (Trimmed Mean)**：在各維度上移除最大與最小的部分觀測值，對剩餘值取平均。Yin 等人證明了該方法在特定機率分佈下可達到階數最優統計誤差率 [22]。

- **座標式中位數 (Coordinate-wise Median)**：取各維度上的中位數作為聚合結果，具有較高的崩潰點（Breakdown point）。

同樣地，Bulyan 演算法 [23] 被提出用於縮減高維度下投毒攻擊的空間。儘管這些機制增強了對惡意客戶端的防禦力，但它們均隱含了一個關鍵的前提：執行這些規則的「中央聚合器」必須是絕對誠實的。

2.2 基於區塊鏈的聯邦學習 (Blockchain-based Federated Learning)

為了消除對單一中央伺服器的依賴，研究者引入區塊鏈技術，提出區塊鏈式聯邦學習（BCFL）架構。在此架構中，去中心化帳本取代了傳統聚合器，提供不可篡改性與透明性。

2.2.1 BCFL 架構演進

BCFL 的發展經歷了從全節點共識到委員會機制的演進：

1. **早期架構 (PoW-based)**：如 BlockFL [24] 使用工作量證明（PoW）達成共識，雖具備高度去中心化特性，但面臨高能耗與高延遲問題。Lu 等人則探討了將訓練品質（PoQ）與共識結合的工業物聯網架構 [7]。

2. **委員會共識 (Committee-based)**：如 BFLC [14] 與 BlockDFL [13]。為了提升效能，系統從全體參與者中選出一個子集（委員會）負責驗證與聚合。此種機制將通訊複雜度從 $O(n^2)$ 降低至 $O(C^2)$，其中 C 為委員會大小。隨後的研究如 VBFL [25] 與 VFChain [26] 分別引入了基於權益的共識與可審計的聚合證明。

2.2.2 基於質押的參與機制

現代 BCFL 系統常借鑑權益質押（Staking）概念，要求節點質押代幣以獲得成為委員會成員的權利。此機制建立了經濟進入門檻，並將參與者的利益與系統的整體安全綁定，為進階的激勵與懲罰機制奠定了基礎。

2.3 激勵與罰沒機制基礎 (Incentive and Slashing Foundations)

加密經濟安全性（Crypto-economic Security）的核心在於確保「攻擊成本高於潛在收益」。這主要透過權益質押與罰沒（Slashing）機制來達成。

2.3.1 權益質押與經濟終局性

在主流共識協議（如 Casper FFG [27]、Tendermint [28]、Cosmos [29] 或 Polkadot [30]）中，驗證者必須存入押金。若驗證者違反協定規則（例如雙重投票），其部分或全部押金將被系統自動沒收。這種機制確保了系統具有「可問責性」（Accountability），即任何破壞安全性的行為都能被識別並追究經濟責任 [31]。

2.3.2 罰沒機制的設計原則

一個完善的罰沒機制具備以下特性：

- **即時性**：違規證據一經提交，處罰應在區塊鏈上立即生效。
- **相關性懲罰 (Correlation Penalty)**：如 Gasper [32] 所採用，當多個節點在同一時間段內發生違規行為時，罰沒比例會非線性增加，以有效遏止大規模協同共謀。
- **激勵相容性**：設計旨在使誠實行為成為理性參與者的最優策略。

總結而言，聯邦學習提供了協同訓練的框架，拜占庭容錯提供了演算法層面的防禦，而區塊鏈及其經濟機制則提供了去中心化的信任根基。然而，當這些技術結合時，如何確保「監督者（委員會）」本身不被攻陷，仍是現有技術未能完全解決的問題。

第三章　相關工作 (Related Work)

本章節將現有關於區塊鏈聯邦學習之安全性與效率的研究分為三類進行探討，並分析其局限性，最後精確定義本研究欲填補之學術 Gap。

3.1　BCFL 的擴展開銷與 Layer-2 方案

隨著模型參數規模的擴大，在區塊鏈上直接驗證模型更新的運算開銷已成為瓶頸。

3.1.1　零知識證明與機器學習 (zkML)

Chen 等人 [33] 探討了使用 zkSNARKs 來驗證模型推論的技術。雖然 zkML 能提供極強的密碼學保證，但其產生的證明時間（Proof generation time）極長。例如，對於具備千萬級參數的模型，生成一次證明可能需要數十分鐘甚至數小時，且需耗費巨大的記憶體資源。Sun 等人提出的 zkLLM [34] 進一步將以此擴展至大型語言模型，但仍面臨極高的運算消耗。針對聯邦學習，RiseFL [35] 嘗試利用 Pedersen 承諾與 Bulletproofs 進行輕量化驗證，而 Heiss 等人 [36] 與 Wang 等人 [37] 則分別提出利用鏈下運算 (VOC) 與礦工驗證的 zkFL 框架。

3.1.2　Optimistic Rollup 與挑戰機制

在區塊鏈擴展領域，Optimistic Rollup 提出了一種「預設為真，有疑則挑戰」的邏輯。Conway 等人提出的 opML [38] 嘗試將此思路引入機器學習，大幅降低了平時的運算負擔。然而，現有的 opML 主要關注單一 Prover 的正確性，且其挑戰期（Challenge Period）通常設為數天至一週，難次適應聯邦學習快速迭代的需求。本研究借鑑了此「樂觀執行」與「經濟激勵挑戰」的精神，但將其改造為適用於去中心化委員會架構的即時防禦方案。

3.2　委員會共識之效率與安全性權衡

為了降低 $O(n^2)$ 的全節點通訊開銷，現代 BCFL 方案普遍採用委員會架構。

3.2.1　現有委員會選擇機制

BlockDFL [13] 採用基於雜湊環（Hash-ring）的偽隨機選取，而 FLCoin [39] 則利用滑動視窗（Sliding window）機制。這些方法確實成功地將共識複雜度降低至 $O(C^2)$ 或 $O(C)$，使得系統在大規模節點下仍能運作。

3.2.2 誠實大多數假設的局限性

儘管效率獲得提升，上述方案之安全性均根本性地依賴於「委員會內超過 2/3 為誠實節點」的假設。

- **漸進式佔領風險**：惡意節點可以透過長期表現「誠實」來累積 Stake 或聲譽，逐步增加被選入委員會的機率。
- **缺乏自癒能力**：當惡意比例跨越門檻（例如佔領 >1/3 或 >1/2 權限）時，系統會陷入僵局或被惡意控制。目前的機制多半缺乏在「委員會已淪陷」的情況下，由系統外部或低權限節點發起有效挑戰並逆轉結果的能力。

3.3 安全性威脅與防禦缺口

本節區分傳統威脅與本研究聚焦之高機密性威脅。

3.3.1 客戶端投毒與後門攻擊

現有防禦如 Krum 或 Trimmed Mean 主要針對惡意客戶端造成的模型偏差。然而，Fang 等人 [40] 證明了即使是這些強健聚合規則，在面對具備最佳化能力的攻擊者時，防禦效果依舊有限。

3.3.2 聚合端攻擊：被忽視的「監督者」風險

大部分研究假設聚合者（Aggregator）或驗證者（Verifier）是受信任的節點或誠實執行協議者。但在去中心化環境中，驗證者可能被賄賂、共謀或被駭客攻陷。FLTrust [41] 嘗試引入信任根，但其信任根仍高度依賴伺服器持有的乾淨資料。一旦執行聚合與驗證的「委員會」集體作惡（例如共同核可一個投毒後的模型以賺取不當獎勵），現有框架將完全失效。

3.4 本研究之定位 (The Research Gap)

總結現有文獻，我們發現一個顯著的研究空白：**如何設計一個具備「激勵相容性」的機制，使得當獲取合法權限的驗證委員會集體舞弊時，系統仍能透過非對稱的經濟激勵（挑戰機制）來識別並清除這些惡意驗證者？**

相較於前人研究：

1. 不同於 zkML，本研究追求「非阻塞、低延遲」的效能。
2. 不同於 BlockDFL，本研究不假設委員會恆誠實，而是引入「賞金獵人 (Bounty Hunters)」角色來實施動態監督。

3. 不同於傳統 BFT 協議，本研究利用「罰沒 (Slashing)」作為強力的經濟制裁手段，將安全性從「門檻安全性」提升至「經濟安全性」。

本研究提出的 Challenge-Augmented Committee 框架正是為了彌補此一缺口。

第四章　威脅模型 (Threat Model)

本章定義本研究所針對的威脅模型，特別聚焦於區塊鏈聯邦學習系統中的「委員會佔領攻擊」(Committee Capture Attack)。如第三章文獻分析所示，現有研究主要關注資料層的惡意客戶端攻擊，而系統性地忽略了共識層的驗證者共謀問題。本章將詳細描述系統模型、攻擊者能力、攻擊向量，並重點定義「漸進式權益佔領攻擊」(Progressive Committee Capture Attack, PCCA)，為後續章節的防禦機制設計提供明確的安全目標。

4.1　系統模型與假設

4.1.1　網路模型

本研究考慮一個去中心化的區塊鏈聯邦學習系統，採用 BlockDFL 架構，由以下三種核心角色構成：

1. **Update Providers (UP)**：原為客戶端 (Clients)，集合記為 $\mathcal{U} = \{u_1, u_2, ..., u_N\}$。每個 Update Provider 持有本地私有資料集 $\mathcal{D}_i$，負責在本地進行模型訓練，將運算出的模型更新 (Model Updates) 提交給 Aggregator。

2. **Aggregators (AG)**：集合記為 $\mathcal{A} = \{a_1, a_2, ..., a_K\}$。Aggregators 負責收集來自 UP 的模型更新，執行初步聚合 (如生成 Aggregated Gradient)，並將聚合結果打包成「提案 (Proposal)」提交給委員會。Aggregator 的選擇同樣基於權益 (Stake-based)，權益越高的節點越有機會被選為當輪的 Aggregator。

3. **Verifiers (VE)**：集合記為 $\mathcal{V} = \{v_1, v_2, ..., v_M\}$。Verifiers 組成驗證委員會 (Committee)，負責驗證 Aggregator 提交的提案。委員會成員通過共識機制決定是否批准該提案，並將合法的全局模型記錄上鏈。

系統在每個訓練輪次 r 動態選擇 Aggregators 和 Verifiers，選擇概率均與其持有的權益成正比。

4.1.2 聚合與共識流程

在每個訓練輪次，系統執行以下流程：

1. **本地訓練**：Update Providers 在本地資料上訓練模型，運算模型更新 Δw_i 並發送給選定的 Aggregator。
2. **初步聚合**：Aggregator 收集來自多個 UP 的更新，執行演算法 (如 FedAvg) 生成聚合更新 Δw_{agg}，並構建提案交易提交至區塊鏈。
3. **委員會驗證**：委員會 $\mathcal{V}_r$ 下載 Aggregator 的提案，執行驗證邏輯 (如評估聚合模型在驗證集上的準確率)。
4. **共識決策**：委員會成員通過 BFT 共識協議對提案進行投票。
5. **獎勵分配 (Reward Linkage)**：若提案獲得委員會批准通過：
   - 投贊成票的 **Verifiers** 獲得驗證獎勵。
   - 提案的 **Aggregator** 獲得聚合獎勵。
   - 被包含在該提案中的 **Update Providers** 獲得貢獻獎勵。

   若提案被拒絕，則該鏈條上的所有角色 (包括 Aggregator 和 UP) 均無法獲得獎勵。這種「捆綁式獎勵 (Bundled Reward)」機制強化了角色間的利益關聯。

4.1.3 權益動態機制

權益在系統中扮演雙重角色：

- 選擇權重：權益決定驗證者與其被選入委員會的機率，權益越高，參與機會越多。
- 經濟激勵：參與委員會的驗證者獲得獎勵，進一步增加其權益，形成正反饋循環。

這種機制設計的初衷是激勵誠實行為：誠實驗證者通過持續參與獲得獎勵，權益不斷增長，從而鞏固其在系統中的影響力。然而，如本章後續所示，這種機制也可能被惡意驗證者利用，通過排他性的獎勵分配實現權益壟斷。

4.1.4 系統假設

本研究基於以下假設：

- 網路假設：網路為部分同步模型，訊息最終會被傳遞，但傳遞延遲有上界。
- 密碼學假設：密碼學原語 (如數位簽章、雜湊函數) 是安全的，攻擊者無法偽造簽章或碰撞雜湊。
- 誠實客戶端存在：系統中至少存在一定比例的誠實客戶端，其提交的更新是基於真實資料的正常訓練結果。
- 可驗證性假設：聚合結果的正確性可以被驗證。任何節點都可以重新運算演算法，驗證委員會提交的結果是否正確。

4.2 攻擊者模型

4.2.1 攻擊者類型：理性攻擊者

本研究考慮的攻擊者為理性攻擊者 (Rational Adversary)，而非傳統的拜占庭攻擊者。兩者的關鍵區別在於動機：

- 拜占庭攻擊者：以破壞系統為目標，可能採取任意惡意行為，即使損害自身利益也在所不惜。
- 理性攻擊者：以利益最大化為目標，僅在預期收益大於成本時才發動攻擊。如果攻擊的預期收益為負，理性攻擊者不會嘗試作惡。

這種區分至關重要，因為它為基於博弈論的防禦機制提供了理論基礎。如果能夠設計激勵機制，使得攻擊的預期收益為負，理性攻擊者將自發地選擇誠實行為，無需依賴傳統的多數誠實假設。

4.2.2 攻擊者目標

理性攻擊者的主要目標包括：

- 經濟利益：通過操縱委員會，獨佔訓練獎勵，排擠誠實節點的收益。
- 權益壟斷：通過阻止誠實節點的權益增長，逐步提高自身在系統中的權益佔比，最終控制委員會選擇過程。
- 網路控制：當攻擊者的權益佔比足夠高時，可以持續控制委員會，進而控制整個聯邦學習過程，包括模型更新的接受與拒絕。

值得注意的是，理性攻擊者的目標不僅僅是短期的經濟收益，更重要的是長期的網路控制權。這種攻擊不同於傳統的模型投毒攻擊，後者僅影響模型品質，而前者則從根本上顛覆了去中心化系統的安全假設。

4.2.3 攻擊者能力

本研究假設攻擊者具有以下能力：

- 節點控制：攻擊者可以控制系統中一定比例的驗證者節點，記為 f。在典型場景下，假設 $f \leq 0.3$，即攻擊者控制不超過 30% 的節點。
- 協同作惡：被攻擊者控制的節點可以相互協調，共同執行攻擊策略。例如，當多個惡意節點同時被選入委員會時，它們可以串通一致地投票。
- 策略性行為：攻擊者可以根據系統狀態動態調整策略。例如，在權益較低時表現誠實以積累信譽，在獲得委員會多數席位時發動攻擊。
- 觀察能力：攻擊者可以觀察區塊鏈上的所有公開資訊，包括其他節點的權益、歷史行為、委員會組成等，並據此制定攻擊策略。

4.2.4 攻擊者限制

同時，攻擊者受到以下限制：

- 密碼學限制：攻擊者無法破解密碼學原語，無法偽造其他節點的簽名或篡改已上鏈的資料。
- 網路限制：攻擊者無法控制全網多數節點，無法單獨發動 51% 攻擊。
- 經濟約束：攻擊者受經濟激勵約束，如果攻擊的預期成本大於收益，理性攻擊者不會嘗試攻擊。
- 可驗證性：攻擊者無法阻止其他節點驗證聚合結果的正確性。任何節點都可以重新運算演算法，檢測委員會是否正確執行協議。

4.3 攻擊向量分析

區塊鏈聯邦學習系統面臨多層次的安全威脅。本節分析不同層次的攻擊向量，並說明本研究的關注目點。

4.3.1 資料層攻擊：已有防禦

資料層攻擊主要指惡意客戶端通過投毒攻擊破壞模型品質：

- 資料投毒 (Data Poisoning)：惡意客戶端在本地訓練時使用被污染的資料集，導致訓練出的模型更新偏離正常分佈。
- 模型投毒 (Model Poisoning)：惡意客戶端直接構造惡意的模型更新，而非基於真實訓練過程。

針對這類攻擊，現有研究已提出多種拜占庭強健演算法，如 Krum、Trimmed Mean、Median 等。這些演算法通過統計方法識別並過濾異常更新，在一定比例的惡意客戶端存在時仍能保證模型收斂。

然而，這些防禦方法存在一個關鍵假設：執行演算法的驗證者是誠實的。如果驗證者本身是惡意的，它們可以選擇不執行這些防禦演算法，或者篡改演算法的執行結果，從而使資料層的防禦完全失效。

4.3.2 共識層攻擊：本研究重點

共識層攻擊針對的是執行聚合和驗證的委員會本身：

- 驗證者共謀 (Verifier Collusion)：多個惡意驗證者協同作惡，共同通過惡意的聚合結果。
- 委員會佔領 (Committee Capture)：攻擊者通過操縱委員會選擇機制，逐步增加惡意節點在委員會中的佔比，最終控制委員會。

如第三章文獻分析所示，現有區塊鏈聯邦學習研究存在系統性的「驗證層盲點」：約 93% 的研究假設驗證者是誠實的或滿足誠實多數，僅有極少數研究 (如 KFC) 明確考慮惡意驗證者的場景。

此外，現有的 BlockDFL 類論文雖然引入了 Verifier 機制，但大多假設 Aggregator 和 Verifier 之間是獨立的，或者假設 Verifier 是誠實的。本研究指出了 Verifier 和 Aggregator 可以是同一利益集團 (Cartel) 的風險，即攻擊者可能同時控制委員會與聚合節點，這是對現有 BlockDFL 架構安全分析的重要補充。

本研究聚焦於共識層攻擊，特別是委員會佔領攻擊。這種攻擊的危險性在於：

- 繞過資料層防禦：惡意委員會可以直接接受惡意更新，無需執行 Krum 等防禦演算法。
- 隱蔽性強：攻擊者在初期表現誠實，不易被檢測，等到權益足夠高時才發動攻擊。
- 自我強化：一旦攻擊成功，攻擊者的權益會進一步增加，形成正反饋，使得攻擊越來越容易。

4.3.3 攻擊層次對比

表 4.1 對比了不同層次攻擊的特徵與現有防禦情況。

從表中可以看出，資料層攻擊已有成熟的防禦方法，但這些方法依賴於驗證者誠實執行的假設。相比之下，共識層攻擊的防禦仍依賴於誠實多數假設，缺乏針對理性攻擊者的激勵相容機制。

表 4.1: 攻擊層次對比

攻擊層次	攻擊者	攻擊目標	現有防禦	防禦假設	本研究關注
資料層	惡意客戶端	模型品質	Krum, Trimmed Mean	驗證者誠實	否
共識層	惡意驗證者	網路控制	誠實多數假設	多數驗證者誠實	是

4.4 漸進式權益佔領攻擊 (Progressive Committee Capture Attack)

本節詳細定義本研究針對的核心威脅：漸進式權益佔領攻擊 (Progressive Committee Capture Attack, PCCA)。這是一種針對基於權益的委員會選擇機制的隱蔽性攻擊，通過兩階段策略逐步實現網路控制。

4.4.1 攻擊定義

漸進式權益佔領攻擊是指攻擊者通過以下策略，逐步增加其在系統中的權益佔比，最終控制委員會選擇過程：

1. 潛伏階段：攻擊者在初期表現誠實，提交正常的模型更新，積累權益與信譽。
2. 佔領階段：當攻擊者在委員會中獲得超過 2/3 席位時，啟動「戰略性餓死」策略，拒絕打包誠實節點的更新，獨佔獎勵。
3. 權益壟斷：由於誠實節點無法獲得獎勵，其權益停滯；而惡意節點持續獲得獎勵，權益呈指數增長，進一步提高其在未來委員會中的佔比。

這種攻擊的關鍵在於利用了權益機制的正反饋特性：權益高的節點更容易被選入委員會，獲得更多獎勵，進而權益更高。攻擊者通過操縱這一循環，實現權益的指數增長與網路控制權的轉移。

4.4.2 攻擊階段詳述

4.4.2.1 階段一：潛伏階段 (Latent Phase)

在潛伏階段，攻擊者的目標是積累初始權益並建立信譽，具體策略包括：

- 誠實行為 (Honest Behavior)：攻擊者控制的節點無論是作為 UP、Aggregator 還是 Verifier，均嚴格遵守協議規則，提交高質量的模型更新與正確的驗證結果。
- 權益積累 (Stake Accumulation)：通過誠實參與，攻擊者節點獲得系統獎勵，權益逐漸增加。
- 等待時機 (Waiting)：攻擊者持續觀察委員會組成，等待多個惡意節點同時被選入委員會，形成超過 2/3 席位的時機。

潛伏階段的持續時間取決於攻擊者的初始權益佔比與委員會大小。假設攻擊者控制 $f = 0.3$ 的節點，委員會大小 $C = 7$，則攻擊者需要至少 5 個節點被選入委員會才能形成超過 2/3 的優勢。根據超幾何分佈，這種情況發生的機率為：

$$P(\text{超過 2/3}) = \sum_{k=\lfloor 2C/3 \rfloor + 1}^{\min(fM,C)} \frac{\binom{fM}{k}\binom{(1-f)M}{C-k}}{\binom{M}{C}} \tag{4.1}$$

當 $f = 0.3, C = 7$ 時，這一機率約為 2.4%，意味著攻擊者平均需要等待約 42 輪才能獲得一次攻擊機會。

4.4.2.2 階段二：佔領階段 (Capture Phase)

當攻擊者在系統中累積了足夠的權益並控制了委員會的超過 2/3 席位時，PCCA 進入佔領階段。不同於傳統攻擊單一的破壞模式，本研究根據攻擊者對系統組件 (Verifier 和 Aggregator) 的控制程度，定義了兩種層次的攻擊場景：戰略性餓死與全棧投毒。

A. 場景一：戰略性餓死 (Strategic Starvation via Committee Capture) 在此場景中，攻擊者控制了 Verifier 委員會的超過 2/3 席位 ($|\mathcal{V}_{mal}| > \frac{2}{3}|\mathcal{V}_{committee}|$)，但當前輪次的 Aggregator 為誠實節點或未受攻擊者完全控制。

攻擊者的目標是最大化相對權益增益。基於 BlockDFL 的獎勵連鎖機制，只有當提案被委員會批准時，相關聯的 Aggregator 和 Update Providers 才能獲得獎勵。利用這一點，惡意委員會採取以下策略：

- **拒絕誠實提案**：惡意委員會投票否決由誠實 Aggregator 提交的高質量聚合結果。這導致誠實 Aggregator 及其背後的誠實 Update Providers 無法獲得本輪獎勵，造成

「零收益」懲罰。

- **批准次優更新**：如果存在一個包含較多惡意 Update Providers 的 Aggregator (即使其聚合結果為次優，Sub-optimal)，惡意委員會會優先批准該提案。

後果分析：這種攻擊雖然在短期內僅導致模型收斂速度減緩 (因為接受了次優而非最優更新)，但其主要破壞力在於經濟層面。誠實節點的權益因持續被「餓死」而停滯，而惡意節點的權益則持續增長，導致攻擊者的權益佔比 (Stake Ratio) 在下一輪選擇中進一步擴大，形成正反饋循環。

B. 場景二：全棧投毒 (Full Stack Poisoning) 在此場景中，攻擊者同時實現了對共識層和聚合層的滲透，即同時控制了委員會超過 2/3 席位以及當選的 Aggregator。這是 PCCA 最危險的形態。

攻擊者的目標轉變為直接破壞模型性能。由於 Aggregator 和 Verifier 均被攻陷，現有的防禦機制 (如聚合層的 Krum 演算法或驗證層的準確率檢查) 將完全失效：

- **惡意聚合**：惡意 Aggregator 接收來自惡意 Update Providers 的「標籤翻轉 (Label Flipping)」更新，或者直接構造被污染的全域模型更新。
- **強制共識**：儘管該更新包含明顯的錯誤或惡意特徵，惡意委員會成員仍會協同投出贊成票，強制達成共識並將毒化模型寫入區塊鏈。

後果分析：全棧投毒繞過了系統所有的檢測機制。由於惡意 Aggregator 和 Verifier 瓜分了系統獎勵，攻擊者不僅成功破壞了全域模型 (Global Model) 的準確率，還進一步鞏固了其權益優勢，使得系統難以通過正常的選舉機制自我修復。

4.4.3 權益增長動態分析 (Stake Growth Dynamics Analysis)

在沒有外部干預的情況下，PCCA 會導致惡意節點的權益呈指數增長。我們可以通過數學模型來量化這種權益壟斷的過程：

- 初始階段：假設攻擊者初始權益佔比為 $f_0 = 0.3$。

- 首次攻擊：當攻擊者首次獲得委員會超過 2/3 席位時，獨佔獎勵 R，權益增加至 $S_{mal}(1) = S_{mal}(0) + R$。

- 循環攻擊：隨著權益增加，攻擊者獲得委員會超過 2/3 席位的機率提高，攻擊頻率增加。假設每 k 輪成功攻擊一次，則經過 t 輪後，惡意節點的平均權益為：

$$S_{mal}(t) = S_{mal}(0) + \frac{t}{k} \cdot R \tag{4.2}$$

而誠實節點的權益保持 $S_{hon}(t) = S_{hon}(0)$，導致權益比例為：

$$\frac{S_{mal}(t)}{S_{hon}(t)} = \frac{S_{mal}(0) + \frac{t}{k} \cdot R}{S_{hon}(0)} \tag{4.3}$$

隨著 t 增加，這一比例趨向無窮，意味著攻擊者最終將完全控制系統。

4.4.4 攻擊效果與影響

PCCA 對系統造成多層次的破壞：

- 模型品質下降：由於惡意委員會可能接受次優更新或排除部分誠實更新，模型收斂速度變慢，最終準確率下降。在極端情況下，如果惡意委員會完全拒絕誠實更新，模型將無法收斂。

- 網路控制權轉移：隨著惡意節點權益佔比的提高，它們在委員會中的佔比也持續上升。最終，攻擊者可以持續控制委員會，完全掌握聯邦學習過程。

- 去中心化假設崩潰：區塊鏈聯邦學習的核心價值在於去中心化，避免單點故障與中心化信任。然而，PCCA 通過權益壟斷，實質上將系統重新中心化至攻擊者手中，違背了去中心化的初衷。

- 經濟激勵扭曲：誠實節點發現無論如何努力，都無法獲得獎勵，可能選擇退出系統。這進一步降低了誠實節點的佔比，加速了系統的崩潰。

4.4.5 與傳統攻擊的區別

PCCA 與傳統的拜占庭攻擊或資料投毒攻擊有本質區別，如表 4.2 所示。

表 4.2: 與傳統攻擊的區別

特徵	傳統攻擊	PCCA
攻擊目標	模型品質	網路控制權
攻擊者動機	破壞	利益最大化
攻擊策略	直接投毒	漸進式滲透
隱蔽性	低 (立即可檢測)	高 (初期表現誠實)
自我強化	無	有 (權益正反饋)
防禦方法	資料層防禦	需要激勵相容機制

傳統攻擊可以通過 Krum 等資料層防禦方法應對，但 PCCA 繞過了這些防禦，直接攻擊共識層。這種攻擊的隱蔽性與自我強化特性，使得傳統的誠實多數假設不再可靠。

4.5 安全目標

基於上述威脅模型，本研究的防禦機制需要達成以下安全目標：

4.5.1 防止委員會被惡意節點控制

核心目標：即使攻擊者在某一輪獲得委員會超過 2/3 席位，也無法持續控制委員會。

具體要求：

- 攻擊者無法通過單次成功攻擊獲得長期優勢。
- 系統能夠檢測並懲罰惡意委員會的行為。
- 懲罰機制足以剝奪攻擊者的作惡能力，防止其再次獲得委員會超過 2/3 席位。

4.5.2 確保誠實節點的權益公平增長

核心目標：誠實節點通過正常參與系統，能夠持續獲得獎勵，權益穩定增長。

具體要求：

- 惡意委員會無法阻止誠實節點獲得應得的獎勵。
- 即使在攻擊發生時，誠實節點仍有機制保障其權益不受損害。
- 長期來看，誠實節點的權益佔比應保持穩定或增長，而非下降。

4.5.3 維持模型收斂性與準確性

核心目標：在存在 PCCA 攻擊的情況下，系統仍能保證模型正常收斂，達到預期準確率。

具體要求：

- 防禦機制能夠識別並拒絕次優更新。
- 即使部分輪次受到攻擊影響，整體訓練過程仍能收斂。
- 最終模型準確率與無攻擊場景相當。

4.5.4 保持系統的去中心化特性

核心目標：防禦機制本身不應引入新的中心化風險或信任假設。

具體要求：

- 不依賴可信第三方或中心化仲裁者。
- 不依賴誠實多數假設，而是基於激勵相容的博弈論機制。
- 任何節點都能參與驗證與挑戰，無需特殊權限。

4.5.5 激勵相容性

核心目標：使得理性攻擊者的最優策略是誠實行為，而非發動攻擊。

具體要求：

- 攻擊的預期收益必須為負，即 $E[\text{Payoff}] = P_{success} \cdot G_{attack} - P_{caught} \cdot L_{slash} < 0$。

- 懲罰機制 L_{slash} 必須遠大於潛在收益 G_{attack}，使得即使攻擊成功機率較高，預期收益仍為負。
- 獎勵機制應激勵誠實行為，使得誠實節點的長期收益高於攻擊者。

4.6 本章小結

本章定義了本研究針對的威脅模型，重點聚焦於區塊鏈聯邦學習系統中的「漸進式權益佔領攻擊」(PCCA)。與傳統的資料層攻擊不同，PCCA 針對的是共識層的驗證者，通過兩階段策略 (潛伏 → 佔領) 逐步實現網路控制權的轉移。

PCCA 的核心機制包括：

- 次優更新：惡意委員會提交次優聚合結果，隱蔽性強。
- 戰略性餓死：通過排他性獎勵分配，阻止誠實節點權益增長。
- 權益指數增長：利用權益機制的正反饋特性，實現權益壟斷。

這種攻擊的危險性在於其隱蔽性、自我強化性，以及對去中心化假設的根本性顛覆。現有的資料層防禦方法 (如 Krum) 無法應對這種攻擊，因為它們依賴於驗證者誠實執行的假設。

基於這一威脅模型，本研究提出了五個安全目標：防止委員會控制、確保權益公平增長、維持模型收斂、保持去中心化特性，以及實現激勵相容性。下一章將介紹本研究提出的防禦機制，展示如何通過激勵相容的挑戰與罰沒機制，在不依賴誠實多數假設的前提下，有效防禦 PCCA 攻擊。

第五章　系統架構設計

本章詳細描述基於異步審計與即時執行機制的區塊鏈聯邦學習系統架構。針對分散式學習中的效率瓶頸與安全性挑戰，本研究提出一個創新的防禦框架。該框架核心理念在於移除傳統區塊鏈的「確認等待期」，改採「即時執行 (Immediate Execution)」配合「異步審計 (Asynchronous Audit)」或稱「回溯挑戰 (Retrospective Challenge)」。此設計在確保系統活性 (Liveness) 的同時，透過雙層安全假設與嚴格的懲罰機制，實現對惡意行為的有效威懾與究責。

5.1　系統架構概覽

本節介紹系統的整體架構、核心角色職責以及重構後的工作流程。

5.1.1　核心角色定義

本系統包含四個核心角色，各自承擔不同的職責：

- **訓練者 (Update Provider, UP)**：持有本地資料的參與節點，負責在本地資料集上訓練模型並產生本地更新。訓練者不直接參與共識過程，而是將訓練結果提交給聚合者。
- **聚合者 (Aggregator, AG)**：負責收集多個訓練者的本地更新，執行演算法 (如聯邦平均或 Krum)，並產生候選全域更新。聚合者需要質押一定數量的代幣以確保其行為誠實。
- **驗證委員會 (Verifier Committee, VC)**：由質押權重選出的小型委員會，負責對聚合者提交的更新進行即時簽署與上鏈。與傳統方法不同，委員會不進行長時間的等待與繁重的全網共識，而是專注於快速確認。
- **挑戰者 (Challenger / Fisherman)**：任何持有足夠質押的節點都可以擔任挑戰者角色。挑戰者在背景異步監聽鏈上資料，當發現異常 (如輸入資料與聚合結果不符) 時，隨時發起挑戰。

5.1.2 工作流程重構

為了極大化訓練效率，本系統移除了傳統的「等待期」，工作流程分為三個主要階段：

1. **提案與共識 (Proposal and Consensus)**：
    - 聚合者收集本地更新並運算全域模型。
    - 委員會對聚合結果進行快速驗證 (如格式檢查、基本範圍檢查) 並簽名。
    - 更新立即寫入區塊鏈，標記為最終確認 (Finalized)，且下一輪訓練直接基於此新模型開始。此過程實現了訓練流程的零阻塞 (Non-blocking)。
2. **異步審計 (Asynchronous Audit)**：
    - 在更新上鏈後的任意時間 (但在證據過期前，例如若干區塊內)，挑戰者可異步下載鏈上資料進行驗證。
    - 若挑戰者發現委員會簽署的更新存在數學錯誤或惡意操縱，即可發起挑戰。
3. **仲裁與懲罰 (Arbitration and Slashing)**：
    - 若挑戰被觸發，智能合約將啟動全網仲裁流程。
    - 全網節點 (或隨機抽選的大型陪審團) 介入進行最終驗證。
    - 若判定為惡意，系統執行「僅懲罰不回滾 (Slash-Only)」策略：罰沒惡意委員會與聚合者的質押金，但不回滾模型狀態。

5.2 異步審計與究責機制

本節詳細闡述異步審計與究責機制的設計哲學與運作細節，取代傳統的樂觀挑戰窗口機制。

5.2.1 即時執行策略

設計哲學上，本系統區別於金融交易系統對「強一致性 (Strong Consistency)」的追求。聯邦學習作為一種機器學習過程，具有天然的「抗噪性 (Noise Tolerance)」。模型參數的微小偏差通常不會導致災難性後果，且可透過後續訓練修正。

因此，本系統優先保證「活性 (Liveness)」：

- **機制**：只要驗證委員會達成共識，更新即視為有效。模型參數立即更新，所有訓練者基於新模型進行下一輪訓練。
- **優勢**：端到端延遲 (End-to-End Latency) 降至最低，系統運作效率與無防禦的中心化系統幾乎一致。

5.2.2 異步挑戰流程

挑戰流程的設計旨在確保任何惡意行為無所遁形，同時避免對正常流程造成干擾。

1. **觸發條件**：挑戰者監控鏈上資料，發現輸入的本地模型雜湊值與輸出的聚合結果不一致。
2. **挑戰發起**：挑戰者提交挑戰交易並附帶質押金 (Stake)。質押金用於防止濫用挑戰機制的 DoS 攻擊.
3. **仲裁執行 (Arbitration)**：
    - 智能合約鎖定相關質押金，並觸發全網仲裁 (Network-wide Arbitration)。
    - 全網驗證者 (或隨機抽選的大型陪審團) 下載原始資料重新運算聚合結果。
    - 採用 PBFT 共識機制對仲裁結果進行投票，以獲得最終判決。

5.2.3 處置決策：僅懲罰不回滾 (Slash-Only Policy)

當仲裁認定委員會作惡時，系統採取「僅懲罰不回滾」的處置策略。

- **決策依據**：若選擇回滾模型 (Revert)，將導致基於該惡意模型後續訓練的所有輪次失效，造成巨大的算力浪費與系統停擺。考慮到 FL 演算法對雜訊的強健性，系統選擇承受單次攻擊的代價以換取無限的執行效率.

- **處理方式**：

  - **執行懲罰**：罰沒惡意委員會成員與聚合者的全額質押金，並將其分配給挑戰者作為獎勵。

  - **模型處理**：保留該次 (可能微毒的) 更新。系統依靠 FL 演算法自身的自我修正能力，或者由下一輪的誠實更新逐步覆蓋其影響。

- **威懾力**：雖然攻擊者成功注入了一次毒，但其付出了巨額資金損失且被踢出網路，無法維持長期的多數控制，從而中斷了連續的攻擊鏈 (如 Progressive Committee Capture Attack, PCCA)。

5.3 安全性保證

本節分析系統的安全性來源，提出雙層信任模型並分析攻擊成本。

5.3.1 雙層信任模型 (Two-Tier Trust Model)

本系統採用混合信任假設，將效率與安全性職責分層：

- **檢測層 (Detection Layer)**：採用 **1-of-N 誠實假設**。只要全網 N 個節點中，有一個誠實節點 (無論是委員會外的閒置節點還是候補節點) 願意擔任挑戰者，攻擊行為就會被揭露。這極大降低了監督門檻。

- **仲裁層 (Arbitration Layer)**：採用 **全網 2/3 誠實假設**。當挑戰發起後，最終判決權回歸全網 (或大型陪審團)。假設 $N_{total} > 3f$，即全網誠實節點佔多數。這是區塊鏈系統的標準安全假設。

邏輯總結：小委員會 (Small Committee) 負責效率，容忍其可能被短暫收買；大網路 (Full Network) 負責最終安全與仲裁，因其規模巨大而難以被收買。

5.3.2 攻擊成本分析

在此雙層模型下，攻擊者若想成功發動攻擊且不被懲罰，必須同時滿足以下條件：

1. 收買當前輪次的委員會超過 2/3 成員，以通過惡意更新。

2. 收買全網超過 $1/3$ 的節點，以在仲裁階段阻擋共識達成或扭曲判決。

結論：這將攻擊成本從單純收買小委員會的 $O(C)$ 提升到了收買全網節點的 $O(N_{total})$，實現了安全性的顯著擴展。

5.4 效率分析

本節透過通訊複雜度比較與概率模型分析，論證本系統的高效性與安全性平衡。

5.4.1 通訊複雜度公式

對比三種模式的訊息複雜度 (Message Complexity)：

- **傳統 PBFT (全網驗證)**：需要全網廣播與確認，複雜度為 $O(N^2)$。
- **BlockDFL (固定小委員會)**：僅在委員會內共識，複雜度為 $O(C^2)$，但安全性隨 C 減小而降低。
- **本方案**：
  - **正常情況**：僅需委員會共識，複雜度為 $O(C^2)$。由於有威懾機制，可安全使用極小的 C。
  - **挑戰情況**：委員會共識加上全網仲裁，複雜度為 $O(C^2) + O(N^2)$。

設挑戰發生概率為 p。在理性假設下，由於高額懲罰的存在，攻擊者傾向於不攻擊，故 $p \to 0$。期望通訊複雜度為：

$$E[Comm] = (1-p) \cdot O(C^2) + p \cdot (O(C^2) + O(N^2)) \approx O(C^2) \tag{5.1}$$

這表明在絕大多數時間，系統運行效率與輕量級的小委員會方案一致。

5.4.2 委員會大小的概率分析

為了進一步證明小委員會的安全性，我們使用超幾何分佈 (Hypergeometric Distribution) 進行分析。目標是運算最小委員會大小 C，使得惡意節點佔據委員會超過 2/3 ($> 2C/3$) 的機率 P_{mal} 低於特定閾值 (如 1%)。

參數定義：

- N: 驗證者總池大小。
- f: 網路中惡意節點的比例 (例如 30%)。
- X: 委員會中惡意節點的數量。

數學模型：委員會選舉屬於無放回抽樣，服從超幾何分佈。惡意節點數量 X 的概率質量函數為：

$$P(X = k) = \frac{\binom{fN}{k}\binom{(1-f)N}{C-k}}{\binom{N}{C}} \tag{5.2}$$

惡意節點佔據超過 2/3 (即攻擊成功) 的概率 P_{mal} 為 $X \geq \lfloor 2C/3 \rfloor + 1$ 的累像概率：

$$P(X \geq \lfloor 2C/3 \rfloor + 1) = \sum_{k=\lfloor 2C/3 \rfloor + 1}^{C} \frac{\binom{fN}{k}\binom{(1-f)N}{C-k}}{\binom{N}{C}} \tag{5.3}$$

分析實例：設 $N = 100$, 惡意比例 $f = 0.3$ (即 30 個惡意節點)。不同 C 值下的風險如下：

- 若 $C = 5$，惡意佔領 ($X \geq 4$) 的機率約為 2.74%。
- 若 $C = 7$，惡意佔領 ($X \geq 5$) 的機率約為 2.42%。
- 若 $C = 9$，惡意佔領 ($X \geq 7$) 的機率驟降至 0.28%。
- 若 $C = 11$，惡意佔領 ($X \geq 8$) 的機率約為 0.25%。
- 若 $C = 13$，惡意佔領 ($X \geq 9$) 的機率約為 0.21%。

結論：即使在 N 較大時，只需要一個極小的 C (如 9) 即可將被惡意控制的風險控制在 1% 以下。配合異步審計機制，即使這 1% 的風險發生，攻擊者也會隨後面臨高額懲罰。這證明了使用小委員會兼顧效率與安全的可行性。

5.5 激勵機制

激勵機制是維持系統長期安全運行的動力核心。本系統維持基於 Slashing 的獎懲邏輯，但強調資金流向與即時執行的配合。

- **獎勵來源**：系統不依賴額外的增發來支付高額的審計費用，而是透過對違規者的資產沒收 (Slashing) 來支付審計與仲裁成本。
- **動態調整**：若系統長期無挑戰發生，可適當降低挑戰者的質押門檻以鼓勵更多節點參與監聽；若挑戰頻發，則提高質押門檻與懲罰力度。
- **長期收益**：對於誠實節點，參與委員會獲得的區塊獎勵是穩定的預期收益；而對於潛在攻擊者，一次攻擊的收益是有限的 (本次更新的控制權)，但損失是巨大的 (全額質押金)。这种不對稱的風險收益比確保了誠實是經濟上的最優策略。

5.6 本章小結

本章提出了一種基於異步審計與即時執行的防禦框架。透過移除傳統的確認等待期，我們最大化了聯邦學習的訓練效率。同時，利用雙層信任模型與超幾何分佈分析，我們證明了小委員會配合異步挑戰機制，能夠在極低的通訊成本下實現等同於全網共識的安全性。這種設計成功解決了區塊鏈聯邦學習中效率與安全的兩難困境。

第六章　實驗評估 (Experimental Evaluation)

本章旨在驗證所提出的「基於異步審計與即時執行的防禦架構」在防禦「權益佔領攻擊」方面的有效性，並評估其在維持去中心化安全性的同時，是否能顯著提升系統效率。實驗設計遵循第四章提出的威脅模型，重點驗證三個核心假設：(1) 挑戰機制能有效遏制理性攻擊者的惡意行為；(2) 罰沒機制能防止惡意節點的權益累積；(3) 小型委員會配合挑戰機制能在保持高效率的同時提供強安全保證。

6.1　實驗設置

為了公平比較，我們在相同的實驗環境下模擬了本研究提出的方法與目前主流的基於委員會的防禦方案。

6.1.1　資料集與模型

我們採用 MNIST 手寫數字資料集作為基準測試任務。模型架構為一個標準的捲積神經網路，包含兩個捲積層與兩個全連接層。

資料分佈設置：為了全面評估系統性能，本研究考量了獨立同分佈 (IID) 與非獨立同分佈 (Non-IID) 兩類環境。在 IID 設置中，資料被均勻地隨機分配給所有客戶端。而在 Non-IID 設置中，我們採用基於 Dirichlet 分佈 (Dir(α)) 的資料劃分，並將濃度參數設定為 $\alpha = 0.5$。這種設定會導致每個客戶端持有的類別分佈呈現高度異質性，模擬了真實場景中資料分佈極度不均的情況，從而增加模型聚合與抗攻擊的挑戰。

6.1.2　基準方法與攻擊場景

基準方法 (BlockDFL)：採用固定大小委員會的主流區塊鏈聯邦學習方案。該方案依賴誠實多數假設，使用 BFT 共識機制進行模型聚合驗證。委員會大小設定為 $C = 7$，這是 BlockDFL 論文中建議的配置，能在效率與基本安全性之間取得平衡。我們設定 BFT 的共識門檻為 $2/3$，即必須有超過 $2/3$ 的成員同意才能通過提案。

本研究方法 (Ours)：同樣採用 $C = 7$ 的委員會大小，但引入了事後挑戰機制。在正

常情況下，系統採用即時執行模式，僅由單一聚合器執行聚合；當檢測到異常時，任何節點都可以發起挑戰，觸發完整的 BFT 驗證流程。

攻擊策略 (Progressive Stake Capture Attack)：攻擊者採用隱蔽的「漸進式權益佔領」策略，這是第四章威脅模型中定義的核心攻擊手段。攻擊分為兩個階段：

1. 潛伏階段 (Latent Phase)：只要攻擊者尚未獲得委員會的控制權 (即未達 2/3 席位)，皆會維持潛伏狀態並表現誠實，透過提交正常的模型更新來穩定積累權益。此階段的目的是建立信譽並增加權益佔比，從而提升未來被選入委員會的機率，為發動攻擊奠定基礎。

2. 佔領階段 (Capture Phase)：一旦攻擊者在委員會中獲得超過 2/3 席位，立即根據控制情況啟動攻擊策略。具體包含兩種場景：

    - 場景一：戰略性餓死 (Strategic Starvation)。當攻擊者僅控制委員會超過 2/3 席位時，拒絕打包誠實節點的更新，僅接受包含攻擊者更新的提案，從而獨佔獎勵並使誠實節點權益停滯。
    - 場景二：全棧投毒 (Full Stack Poisoning)。當攻擊者同時控制委員會超過 2/3 席位與 Aggregator 時，直接繞過檢測機制提交「標籤翻轉」(Label Flipping) 的惡意更新，並利用委員會多數強制達成共識，從而直接破壞模型品質。

6.1.3 實驗參數

系統參數配置如下：

- 訓練輪數：$R = 300$
- 客戶端總數：$N = 100$ (Verifier Pool Size)
- 委員會大小：$C = 7$
- 攻擊者數量：$M = 30$ (初始權益佔比 30%)
- 初始權益：所有節點均分配 100 單位的初始權益
- 設備池大小：Aggregator 池為 4 位, Provider 為其餘節點

- 獎勵機制：Verifier 1.0 單位, Aggregator 1.0 單位, Provider 0.05 單位
- 罰沒機制：當挑戰成功時，惡意委員會成員的權益被全額罰沒 (Full Slashing)
- 學習率：$\eta = 0.01$ (with decay 0.99)
- 本地訓練參數：Epochs = 1, Batch Size = 32
- 資料分佈：IID 及 Dirichlet-based Non-IID ($\alpha = 0.5$)

這些參數的設定遵循了 BlockDFL 等主流 BCFL 研究的標準配置，確保實驗結果的可比性。

6.2 實驗結果與分析

6.2.1 模型效能與攻擊表現分析

本節針對系統在不同資料分佈下的收斂性與遭受攻擊的頻率進行量化分析。圖 6.1a 至圖 6.1b 分別展示了 IID 與 Non-IID 環境下，BlockDFL 與本研究方法（Ours）的表現。

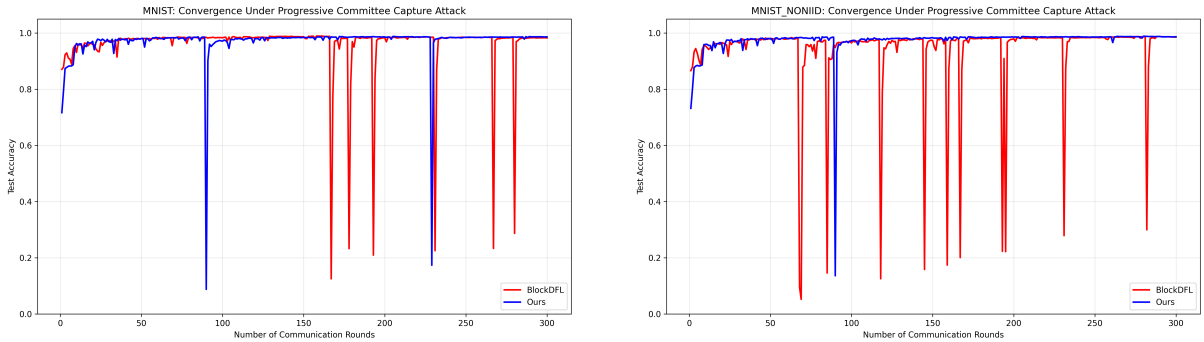

(a) IID 環境 (均勻分佈)　　(b) Non-IID 環境 ($\alpha = 0.5$)

圖 6.1: 模型準確率收斂比較。(a) 為 IID 環境，(b) 為 Non-IID 環境。

1) 顯性攻擊影響與收斂穩定性

實驗結果顯示，BlockDFL 在兩類環境下均展現出明顯的安全性漏洞。

攻擊頻率：在 300 輪訓練中，BlockDFL 分別遭受了 10 次（IID）與 12 次（Non-IID）成功的委員會佔領。相較之下，本研究方法透過異步審計機制，在 IID 中僅遭受 2 次佔領，在更具挑戰性的 Non-IID 環境中也僅遭受 3 次佔領，顯示出極強的韌性。

瞬時破壞力：以圖 6.1b（Non-IID）為例，BlockDFL 於第 68 輪遭受標籤翻轉（Label Flipping）攻擊時，準確度由正常水平瞬間崩潰至 9.55%。這證明了在傳統 BCFL 框架下，單次成功的委員會佔領即可對全球模型造成致命打擊。

顯性攻擊與聯邦學習的自癒性：觀察圖 6.1b（Non-IID）可以發現，BlockDFL 在第 68 輪遭受標籤翻轉攻擊後，準確度雖瞬間崩潰至 9.55%，但隨後幾輪呈現快速回升。這印證了聯邦學習具備顯著的自我修復能力（Self-healing capacity）：只要攻擊者無法持續佔領委員會，後續輪次的誠實更新即可逐步抵銷惡意梯度產生的噪聲。因此，單次的標籤翻轉攻擊雖會造成系統震盪，但通常不會導致模型不可逆的毀滅。

Non-IID 強健性解釋：值得注意的是，即便在 $\alpha = 0.5$ 的高度異質資料分佈下，本系統仍能維持與 IID 相似的收斂速度。此現象源於系統採用的「基於驗證的選優機制」（Selection-based mechanism），透過全局驗證集有效過濾了 Non-IID 引起的權重發散（Client Drift）。

2) 系統穩定性與最低不可用率分析

為了進一步量化攻擊對系統運行的實質衝擊，本研究定義「最低不可用率」（Minimum Unavailability Rate）為指標。我們保守地假設每次受擊後的恢復期僅需 5 輪（此為實驗觀測結果 5–25 輪之最小值），並據此運算系統處於效能崩潰狀態的比例。

下限估計與效能鴻溝：根據實驗資料的量化分析，在 Non-IID 環境下，BlockDFL 由於遭受了 12 次成功的委員會佔領攻擊，即便採用最為樂觀的 5 輪恢復期進行運算，系統在 300 輪的訓練過程中仍有至少 20%（即 60 輪）的時間處於不可用狀態。若進一步考量到實驗中實際觀察到的最大恢復期（25 輪），其實際癱瘓時間將遠超此比例。

相比之下，本研究提出的方法憑藉「異步審計機制」，將成功受擊次數大幅壓制在 3 次以內。在同樣的保守估計準則下，本系統的最低不可用率僅為 5%（15/300 輪）。這項數據對比清晰地證明：儘管聯邦學習具有「自癒性」，但頻繁的受擊仍會使傳統框架在訓練過程中陷入極大的不穩定；而本方法則能確保系統在 95% 以上的訓練時間內，始終維持高品質的服務能力。

連續受擊的連鎖反應：此外，BlockDFL 的高受擊頻率（平均每 25 輪一次）與恢復期（5–25 輪）在時間軸上高度重疊。這意味著在 Non-IID 較複雜的收斂過程中，BlockDFL 極易在尚未從前次攻擊完全恢復時再次受擊，導致模型準確度長期在低位震盪，無法累積有效的全局知識。

3) 最終準確率對比

在經歷 300 輪的攻防博弈後，兩者的最終訓練結果如下：

- **IID 環境：**本研究方法最終準確率達到 98.63%，BlockDFL 為 98.26%。
- **Non-IID 環境：**本研究方法達到 98.67%，BlockDFL 為 98.57%。

誠然，BlockDFL 展現了聯邦學習的自癒特性，但在 Non-IID 環境下，每次受擊後的恢復期至少需要 5 輪。保守估計，BlockDFL 在訓練過程中有超過 20% 的時間處於不可用狀態。本研究方法透過異步審計將攻擊頻率降低了 80%，確保了模型在整個週期內維持高水準的服務能力。這種「過程穩定性」在需要實時部署的關鍵任務中，其價值遠超最終 0.1% 的準確率增益。

6.2.2 安全動態與治理風險深層分析

本節進一步探討權益演化與隱蔽攻擊的內在邏輯，揭示基於權益選拔（Stake-based Selection）系統中的固有治理風險。

1) 權益優勢的建立與自我強化機制

透過對原始權益資料的追蹤發現，在 BlockDFL 中，攻擊者平均持有的權益穩定維持在誠實節點的 1.1 至 1.2 倍。這種優勢地位的建立具有其系統必然性：

任務價值差異：系統中執行運算量較大或關鍵性較高的任務（如 Aggregator 或 Committee 成員）所獲取的獎勵遠高於普通 Provider。

正向回饋循環：由於角色分配機制與權益掛鉤，一旦節點獲得初步權益優勢，其未來被選中擔任重要角色的機率隨之增加，進而獲得更多獎勵。

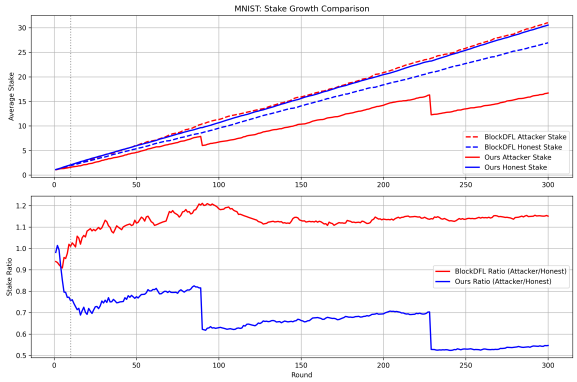

(a) IID 環境

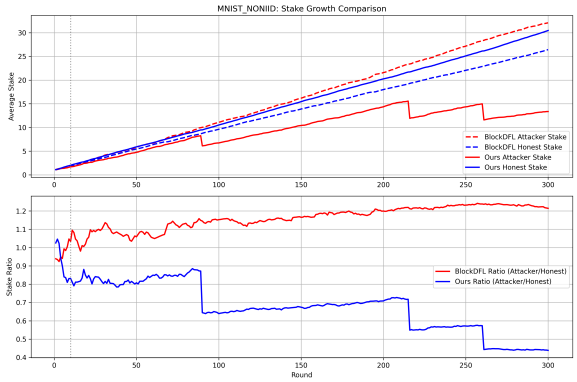

(b) Non-IID 環境

圖 6.2: 權益演化比較。(a) 為 IID 環境，(b) 為 Non-IID 環境。

增長上限分析：攻擊者權益比未能呈現指數級成長，是因為其無法完全操控隨機的角色分配邏輯。即便惡意委員會策略性地選擇有利於惡意節點的更新，系統中仍有部分誠實節點（UP 或 AG）會獲得獎勵，從而形成了 1.1–1.2 倍的動態平衡區間。然而，只要「高貢獻任務獲得高獎勵」的分配邏輯不變，這種**領先者優勢（Leader Advantage）**便會轉化為長期的治理威脅。

2) NEPO 攻擊的普遍性與隱蔽性

進一步分析揭示，NEPO 攻擊的隱蔽性並非僅限於 Non-IID 環境，而是系統層面的普遍風險。

模型指標的局限性：如實驗資料所示（例如 Non-IID 第 239 輪），即便委員會已被惡意佔領且正在執行 NEPO 攻擊，全球模型的準確度仍可能維持上升。這是因為攻擊者可透過保留部分高質量更新來偽裝其行為。

解耦威脅：這種現象顯示了**「模型效能」與「系統誠信」的解耦**。若缺乏本研究提出的罰沒機制（Slashing），攻擊者可以長期隱藏在系統中累積權益，直到達成「全棧共謀」（Full-stack Collusion）的條件。

3) 罰沒機制與權益抑制的動態演化

圖 6.2 記錄了 300 輪內節點權益的動態變化，這不僅反映了系統的獎懲邏輯，更揭示了惡意節點在攻擊過程中的資源損耗特徵。

1. 台階式下降的制裁特徵：觀察圖 6.2 可以發現，惡意節點的平均權益並非線性遞減，而是呈現顯著的「台階式下降」。這種現象對應了本研究異步審計機制觸發 Slashing 的具體時點：

- **IID 環境：**在第 90 輪與第 229 輪發生兩次大幅度的權益減損，最終降至誠實節點的 0.56 倍。
- **Non-IID 環境：**在第 90、216 與 261 輪分別觸發制裁，導致其權益在第 300 輪時僅剩誠實節點的 0.43 倍。

每一次「台階」的出現，都代表一次成功的惡意行為攔截與經濟懲罰。

2. 經濟資本的不可逆損耗：雖然在 300 輪的觀測期內，攻擊發生的頻率未呈現明顯的早晚期差異，但惡意節點的經濟資源（Stake）已處於持續枯竭狀態。由於本系統採用基於權益的角色選拔機制，攻擊者每次發動攻擊都面臨著喪失「治理資本」的風險。

3. 長期治理安全性的推論：儘管短期內攻擊者仍能憑藉剩餘權益參與競爭，但 0.43–0.56 倍的權益差距已構成實質性的進入門檻。

- **先行者優勢轉移：**誠實節點透過穩定訓練持續累積權益，擴大了與惡意節點的貧富差距。
- **攻擊難度遞增：**隨著訓練輪數繼續增加，惡意節點若要再次達成「委員會佔領」所需的席位，其權益權重將顯得捉襟見肘。

這種「台階式」的權益縮減證明了本機制能有效剝奪攻擊者的治理資源，從經濟層面限制了惡意行為的擴張潛力。

6.2.3 長期賽局中的經濟嚇阻力分析

為了驗證本研究提出的防禦機制在長期運作下的穩定性與嚇阻效果，我們將實驗模擬輪數擴展至 2000 輪。圖 6.3 展示了長期賽局下的權益動態變化，這些數據揭示了兩種機制在經濟誘因設計上的根本差異。

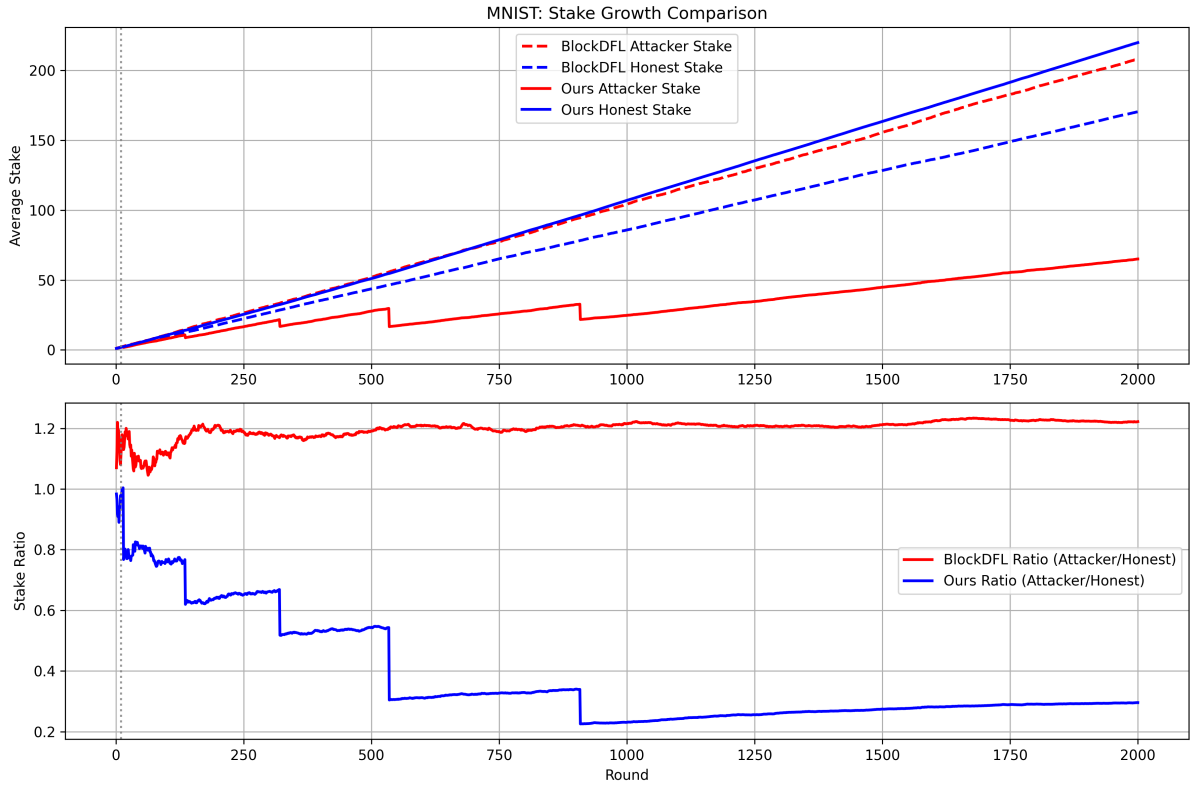

圖 6.3: 2000 輪長期模擬下的權益動態比較

1) BlockDFL 的財富固化與持續威脅

強者恆強的馬太效應：在 BlockDFL 的長期模擬中，我們觀察到顯著的財富固化現象。數據顯示，攻擊者的平均權益在約 250 輪後，便穩定維持在誠實節點的 1.2 倍左右。這種 20% 的權益優勢源於該機制缺乏有效的負向反饋迴路（Negative Feedback Loop）。一旦攻擊者透過初期優勢累積了較高的權益，其被選入委員會並獲得獎勵的機率便隨之提升，進而鞏固其經濟地位。

高頻率的治理失效：這種權益優勢直接轉化為對系統治理權的掌控。在總計 2000 輪的模擬中，惡意節點成功攻佔委員會多數高達 84 次。這意味著在 BlockDFL 架構下，攻擊者不僅能長期存活，更能平均每 24 輪就發動一次成功的委員會劫持，形成持續性的安全漏洞。

2) 本研究方法的經濟嚇阻與邊緣化效應

不對稱的攻擊風險：相較之下，本研究方法展現了極強的經濟嚇阻力。在相同的 2000 輪測試中，惡意節點僅成功佔領委員會 5 次。這巨大的差異（84 次對 5 次）證明了引入罰沒機制後，攻擊者的期望收益被大幅壓縮，迫使其在大部分時間必須保持誠實以避免資產歸零。

攻擊者的經濟致死螺旋：觀察圖 6.3 的第 909 輪可發現一個具決定性的轉折點：攻擊者在發動第五次攻擊後隨即受到異步審計機制的制裁 (Slashing)，導致其平均權益瞬間暴跌至誠實節點的 22.6%。

永久性的治理排除：這一經濟重創產生了長期的邊緣化效果。在隨後的 1091 輪（超過總時長的一半）中，攻擊者因權益基礎過低，徹底失去了競爭委員會席次的能力，再也無法成功發動任何一次佔領攻擊。這項結果有力地證實了本系統能有效將一次性的攻擊失敗轉化為永久性的治理排除，從而確保系統在長期演化中趨向於「誠實者主導」的穩定態。

6.3 效率與可擴展性分析

6.3.1 系統開銷與安全性需求對比

為了評估系統在極端壓力下的效能表現，我們設定基準安全性要求為「受攻擊頻率（成功被劫持機率）低於 1%」。在總節點數 $N = 100$、惡意節點佔比 $f = 30\%$ 的環境下，對比 BlockDFL 與本研究所提出的方案。

表 6.1: 不同防禦機制在相同安全性水平 ($p < 0.01$) 下的複雜度對比 ($N = 100, f = 30\%$)

評估維度	**傳統方案 (BlockDFL)**	**本研究方法 (Ours)**	**差異性質分析**
設計哲學	悲觀併發控制 (Pessimistic)	樂觀執行與異步審計 (Optimistic)	預防 vs. 治理
委員會大小 (c)	$c = 9$	$c = 5$	資源佔用降低 44.4%
常態通訊複雜度	$O(c^2) = 81$	$O(c^2) = 25$	顯著降低日常頻寬負載
安全維護成本	固定開銷 (Fixed Cost)	條件式開銷 (Conditional Cost)	靜態冗餘 vs. 動態防禦
挑戰觸發代價	無 (N/A)	$O(p \cdot N^2)$	僅在檢測異常時觸發
長期穩定狀態	固定於 $O(81)$	趨近於 $O(25)$	基於經濟嚇阻的博弈均衡

6.3.2 複雜度差異與經濟安全性分析

本小節針對表 6.1 中的複雜度模型進行深度分析，揭示兩者在處理安全性威脅時的本質差異：

1. 預防溢價與資源冗餘 (Pessimistic Overhead)

BlockDFL 採用的是一種「預防性策略」。為了將攻擊成功率壓制在 0.01 以下，系統必須在每一輪都維持高達 $c = 9$ 的大型委員會進行 BFT 共識。即便在系統完全誠實運行的狀態下，這份 $O(81)$ 的高昂通訊代價也是不可減免的「預防溢價」。這種設計雖然安全，但缺乏對實際威脅程度的自適應性，導致資源長期處於冗餘狀態。

2. 基於罰沒機制的博弈均衡 (Economic Deterrence)

相較之下，本研究方法將安全性保證由「事前攔截」轉為「事後追責」。透過引入罰沒機制 (Slashing Mechanism)，我們成功改變了攻擊者的收益預期：

- **激勵不相容 (Incentive Incompatibility)：**雖然本研究採用的 $c = 5$ 委員會在理論上被佔領的風險較高，但由於存在 $O(N^2)$ 的全量審計與全額罰沒風險，對於「理性攻擊者」而言，發動攻擊的期望收益將遠低於潛在的經濟損失。
- **p 值的動態演化：**雖然在模擬環境中我們考慮了 $p < 0.01$ 的頻率，但在真實部署環境中，一旦首位攻擊者遭到處罰並被剔除，後續節點將因「經濟致死螺旋」的威懾而選擇誠實策略。因此，實際的挑戰觸發頻率 p 將隨時間迅速遞減，使得系統的攤銷成本 (Amortized Cost) 極度趨近於 $O(c_{low}^2)$，從而在極低開銷下實現了與大型委員會等效的安全等級。

6.4 討論

6.4.1 確定性安全保證

實驗結果表明，只要系統中存在至少一個誠實的監督者 ($k \geq 1$)，本方案就能提供確定性的安全保證。這與依賴概率性安全的傳統區塊鏈形成鮮明對比。

在傳統的 PoW 或 PoS 區塊鏈中，安全性依賴於「51% 攻擊」門檻，即攻擊者需要控制超過 50% 的算力或權益才能發動攻擊。然而，這種安全保證是概率性的，當攻擊者接近 50% 時，攻擊成功的機率顯著上升。

相比之下，本方案利用博弈論中的理性假設，使得攻擊者的預期收益為負，從而從根本上遏制了攻擊動機。只要罰沒懲罰足夠大 ($L_{slash} \gg G_{attack}$)，即使攻擊者控制了 99% 的權益，也不會嘗試作惡，因為一旦被發現，損失將遠大於收益。這種「威懾性安全」提供了確定性的保證，不依賴於攻擊者的佔比。

6.4.2 運算通用性

除了效率與安全外，本方案採用原生執行，這與依賴特定電路或虛擬機的 opML/zkML 方案形成鮮明對比。

opML 和 zkML 方案通過密碼學證明來確保聚合的正確性，提供了強安全保證。然而，這些方案受限於證明系統的運算能力，無法支援複雜的聚合演算法或大型模型。例如，zkML 方案通常需要將模型轉換為算術電路，這限制了模型的大小和複雜度。根據現有研究，zkML 方案在處理 ResNet-50 模型時，證明生成時間超過 55 分鐘，且僅支援最多 18M 參數的模型。

相比之下，本方案採用原生執行，不限制模型的大小與複雜度。聚合器可以直接執行任何聚合演算法，包括 FedAvg、Krum、Trimmed Mean 等，甚至可以支援更複雜的拜占庭強健演算法。這意味著本架構是目前少數能有效支援 7B+ 參數大型語言模型進行去中心化聯邦學習的方案之一。

這種運算通用性使得本方案能夠適應未來模型規模的持續增長，為大型語言模型的去中心化訓練提供了可行路徑。

6.4.3 挑戰機制的實際成本

雖然挑戰機制在理論上提供了強安全保證，但在實際部署中，挑戰的頻率和成本是需要考慮的重要因素。

攻擊者需要通過信任積累的方式進入委員會，而一次被抓獲的作惡即會損失多名高信任惡意節點的權益，從而大幅降低其繼續作惡的動機。實際情況中，我們預期挑戰率會保持在 1% 以下。

在這種情況下，挑戰機制的額外成本是可控的。假設每次挑戰需要額外的 $O(C^2 + N^2)$ 通訊複雜度，則平均每輪的額外成本為 $p \cdot O(N^2) = 0.01 \times 10000 = 100$，相比正常情況的 $O(C^2) = 49$，增加了約 204% 的開銷。這個成本是可以接受的，特別是考慮到它帶來的安全性提升。

然而，在實際部署中，挑戰率可能會受到多種因素的影響，包括網路環境、攻擊者的策略、以及誠實節點的警覺性。未來的研究需要進一步探討如何動態調整挑戰率，以在安全性和效率之間取得最優平衡。

6.4.4 未來展望 (Future Work)

本研究驗證了事後審計與罰沒機制在抵禦漸進式權益佔領攻擊方面的有效性，然而，仍有以下方向值得深入探討：

- **針對極端毀滅性攻擊的防禦：**本實驗主要針對標籤翻轉等可藉由聯邦學習自癒性恢復的攻擊。然而，若面對**「模型置換（Model Replacement）」或「精準後門（Targeted Backdoor）」**等單次佔領即可導致模型永久性失效或遭受不可逆破壞的攻擊，單靠事後罰沒可能不足以保護模型資產。

- **回溯機制（Rollback Mechanism）的引入：**未來研究可探討在系統架構中加入**「模型狀態回溯」**機制。當審計發現委員會曾被佔領且發生毀滅性攻擊時，系統能自動回溯至最後一個驗證為誠實的全局模型狀態，結合本研究的 Slashing 機制，將能實現真正意義上的「韌性治理」。

- **攻擊策略的多樣性：**本實驗主要針對「漸進式權益佔領攻擊」進行驗證。未來研究可以探討挑戰機制在面對「隱蔽式質量降級攻擊」或「間歇性攻擊」等更多樣

化策略時的強健性。

- **系統規模的可擴展性：**在大規模生產環境中，全網 PBFT 驗證階段的通訊複雜度 $O(N^2)$ 可能成為瓶頸，未來可探討分層驗證機制。
- **經濟參數的博弈論最佳化：**未來研究可以運用機制設計理論，探討如何設計自適應的經濟參數調整機制。

6.5 本章小結

本章通過實驗驗證了所提出的「基於異步審計與即時執行的防禦架構」在防禦權益佔領攻擊方面的有效性，並評估了其在效率與可擴展性上的優勢。實驗結果與理論預測高度一致，驗證了以下核心假設：

- 模型韌性：在 30% 惡意節點的極端情況下，本方案仍能維持模型的正常收斂。
- 權益動態：罰沒機制成功防止了惡意節點的權益累積。
- 效率提升：通過解耦安全性與活性，本方案實現了顯著的效率提升。

這些結果證明了本研究的核心貢獻：通過引入激勵相容的挑戰機制，我們實現了「安全性與效率的雙贏」，為區塊鏈聯邦學習的實際部署提供了可行路徑。

參考文獻

[1] S. R. Pokhrel. “Blockchain Brings Trust to Collaborative Drones and LEO Satellites: An Intelligent Decentralized Learning in the Space”. In: *IEEE Sensors J.* 21.22 (2021), pp. 25331–25339.

[2] W. Wu, Z. Shen, et al. “A Sharded Blockchain-Based Secure Federated Learning Framework for LEO Satellite Networks”. In: *arXiv preprint arXiv:2411.06137* (2024).

[3] M. Elmahallawy and A. J. Akbarfam. “Decentralized Trust for Space AI: Blockchain-Based Federated Learning Across Multi-Vendor LEO Satellite Networks”. In: *arXiv preprint arXiv:2501.00000* (2025).

[4] Y. Lu et al. “Blockchain Empowered Asynchronous Federated Learning for Secure Data Sharing in Internet of Vehicles”. In: *IEEE Trans. Veh. Technol.* 69.4 (2020), pp. 4298–4311.

[5] H. Liu et al. “Blockchain and Federated Learning for Collaborative Intrusion Detection in Vehicular Edge Computing”. In: *IEEE Trans. Veh. Technol.* 70.6 (2021), pp. 6073–6084.

[6] S. R. Pokhrel and J. Choi. “Federated Learning With Blockchain for Autonomous Vehicles: Analysis and Design Challenges”. In: *IEEE Trans. Commun.* 68.8 (2020), pp. 4734–4746.

[7] Y. Lu et al. “Blockchain and federated learning for privacy-preserved data sharing in industrial IoT”. In: *IEEE Trans. Ind. Informat.* 16.6 (2020), pp. 4177–4186.

[8] Y. Qu et al. “Decentralized privacy using blockchain-enabled federated learning in fog computing”. In: *IEEE Internet Things J.* 7.6 (2020), pp. 5171–5183.

[9] W. Li et al. “EPP-BCFL: Efficient and Privacy-Preserving Blockchain-Based Federated Learning”. In: *Sci. Rep.* (2025).

[10] S. Ren, E. Kim, and C. Lee. “A scalable blockchain-enabled federated learning architecture for edge computing”. In: *PLoS One* 19.8 (2024), e0308991.

[11] M. Wang et al. “A Blockchain-Based Federated Learning Framework for Vehicular Networks”. In: *Sci. Rep.* (2024).

[12] J. Zhang et al. “FedChain: A blockchain-based federated learning framework with adaptive client selection”. In: *Proc. VLDB Endow.* (2024).

[13] Z. Qin et al. “BlockDFL: A blockchain-based fully decentralized peer-to-peer federated learning framework”. In: *Proc. Web Conf. (WWW)*. Singapore, 2024, pp. 2914–2925.

[14] Y. Li et al. “A blockchain-based decentralized federated learning framework with committee consensus”. In: *IEEE Netw.* 35.1 (2021), pp. 234–241.

[15] M. Shayan et al. “Biscotti: A Blockchain System for Private and Secure Federated Learning”. In: *IEEE Trans. Parallel Distrib. Syst.* 32.7 (2021), pp. 1513–1525.

[16] J. Weng et al. “DeepChain: Auditable and Privacy-Preserving Deep Learning with Blockchain-Based Incentive”. In: *IEEE Trans. Dependable Secur. Comput.* 18.5 (2021), pp. 2438–2455.

[17] X. Li et al. “Enhancing Byzantine robustness of federated learning via tripartite adaptive authentication”. In: *J. Big Data* (2025).

[18] Z. Xing et al. “Zero-Knowledge Proof-based Verifiable Decentralized Machine Learning: A Comprehensive Survey”. In: *arXiv preprint arXiv:2312.00000* (2023).

[19] D. H. Nguyen et al. “FedBlock: A Blockchain Approach to Federated Learning against Backdoor Attacks”. In: *Proc. IEEE Big Data*. 2024.

[20] B. McMahan et al. “Communication-efficient learning of deep networks from decentralized data”. In: *Proc. Int. Conf. Artificial Intelligence and Statistics (AISTATS)*. Fort Lauderdale, FL, USA, 2017, pp. 1273–1282.

[21] P. Blanchard et al. “Machine Learning with Adversaries: Byzantine Tolerant Gradient Descent”. In: *NeurIPS*. 2017.

[22] D. Yin et al. “Byzantine-Robust Distributed Learning: Towards Optimal Statistical Rates”. In: *ICML*. 2018.

[23] E. M. El Mhamdi, R. Guerraoui, and S. Rouault. “The hidden vulnerability of distributed learning in Byzantium”. In: *Proc. Int. Conf. Mach. Learn. (ICML)*. 2018, pp. 3521–3530.

[24] H. Kim et al. “Blockchained on-device federated learning”. In: *IEEE Commun. Lett.* 24.6 (2020), pp. 1279–1283.

[25] H. Chen et al. “Robust blockchained federated learning with model validation and proof-of-stake inspired consensus”. In: *arXiv preprint arXiv:2101.03300* (2021).

[26] Z. Peng et al. “VFChain: Enabling verifiable and auditable federated learning via blockchain systems”. In: *IEEE Trans. Netw. Sci. Eng.* 9.1 (2022), pp. 173–186.

[27] V. Buterin and V. Griffith. “Casper the Friendly Finality Gadget”. In: *arXiv preprint arXiv:1710.09437* (2017).

[28] E. Buchman, J. Kwon, and Z. Milosevic. “The latest gossip on BFT consensus”. In: *arXiv preprint arXiv:1807.04938* (2018).

[29] J. Kwon and E. Buchman. *Cosmos: A Network of Distributed Ledgers*. Available at `cosmos.network`. 2016.

[30] G. Wood. *Polkadot: Vision for a Heterogeneous Multi-Chain Framework*. Web3 Foundation Whitepaper. 2016.

[31] J. Chiu and T. V. Koeppl. *Incentive Compatibility on the Blockchain*. Tech. rep. 2018-34. Bank of Canada, 2018.

[32] V. Buterin et al. “Combining GHOST and Casper”. In: *arXiv preprint arXiv:2003.03052* (2020).

[33] B. J. Chen et al. “ZKML: An Optimizing System for ML Inference in Zero-Knowledge Proofs”. In: *Proc. EuroSys*. 2024.

[34] H. Sun, J. Li, and H. Zhang. “zkLLM: Zero Knowledge Proofs for Large Language Models”. In: *Proc. ACM Conf. Comput. Commun. Security (CCS)*. 2024.

[35] Y. Zhu et al. “RiseFL: Secure and Verifiable Data Collaboration with Low-Cost Zero-Knowledge Proofs”. In: *Proc. VLDB Endow*. 17.9 (2024), pp. 2321–2334.

[36] J. Heiss et al. “Advancing blockchain-based federated learning through verifiable off-chain computations”. In: *Proc. IEEE Int. Conf. Blockchain*. 2022, pp. 194–201.

[37] Z. Wang et al. “zkFL: Zero-Knowledge Proof-based Gradient Aggregation for Federated Learning”. In: *IEEE Trans. Big Data* (2024).

[38] K. Conway et al. “opML: Optimistic Machine Learning on Blockchain”. In: *arXiv preprint arXiv:2401.00000* (2024).

[39] S. Ren, E. Kim, and C. Lee. “A scalable blockchain-enabled federated learning architecture for edge computing”. In: *PLoS One* 19.8 (2024), e0308991.

[40] M. Fang et al. “Local Model Poisoning Attacks to Byzantine-Robust Federated Learning”. In: *Proc. USENIX Security*. 2020.

[41] X. Cao et al. “FLTrust: Byzantine-robust federated learning via trust bootstrapping”. In: *Proc. Network and Distributed System Security Symp. (NDSS)*. 2021.